## PERANCANGAN FLEKSIBEL ANTENA DENGAN SUBSTRAT POLYETHYLENE TEREPHTHALATE (PET) UNTUK PENDETEKSIAN TUMOR PADA PAYUDARA

## Rosdiansyah<sup>[1]</sup>, Yusnita Rahayu<sup>[1]</sup>, Yuyu Wahyu<sup>[2]</sup>

Jurusan Teknik Elektro, Fakultas Teknik Universitas Riau<sup>[1]</sup>
Kampus Binawidya Km 12,5 Simpang Baru Panam, Pekanbaru, 28293<sup>[1]</sup>
Pusat Penelitian Elektronika dan Telekomunikasi, Lembaga Ilmu Pengetahuan Indonesia<sup>[2]</sup>
Komplek LIPI Gedung 20 Lantai 4, Jl Sangkuriang, Bandung 40135, Indonesia<sup>[2]</sup>
Email: rosdiansyah5668@student.unri.ac.id

## **ABSTRACT**

Cancer is one of the leading causes of death worldwide. Early detection is the best solution for cancer treatment. The UWB microwave imaging technology is one of the most promising technologies in the field of medical diagnosis, because it is non-ionizing and low cost. One of the most important elements in a microwave imaging system is an antenna. Recently, the flexible electronic is used as substrate for microstrip antenna. This paper will proposed the design of flexible antenna for breast tumor detection. The proposed antena is designed using Polyethylene Terephthalate (PET) as substrate and silver as patch. The simulation result shows flexible antenna is work at 5.8 GHz frequency with -25.27 dB value of return loss, 1.115 value of VSWR, 3.37 GHz bandwidth, 58.1% GHz impedance bandwidth and 2.68 dBi Gain. By using a flexible substrate, the antenna can follow the structure of the breast and can be placed in the breast for better breast tumor detection.

Keywords: Breast tumor detection, Flexible Antenna, Polyethylene Terephthalate (PET), Ultrawideband (UWB)

### I. PENDAHULUAN

Penyakit kanker merupakan salah satu penyebab kematian utama diseluruh dunia (Faisal, 2017). Kanker adalah pertumbuhan yang tidak normal dari sel-sel jaringan tubuh yang berubah menjadi ganas. Sel-sel tersebut dapat tumbuh lebih lanjut serta menyebar ke bagian tubuh lainnya serta menyebabkan kematian. Berdasarkan International Agency for Research on Cancer (IARC) penderita kanker diseluruh diperkirakan akan meningkat sebesar 18,1 juta kasus baru dan 9,6 juta meninggal akibat kanker pada tahun 2018. Solusi terbaik untuk penyakit kanker adalah dengan mengetahui lebih awal mengenai gejala-gejala kanker sehingga dapat ditentukan langkah selanjutnya untuk menghambat perkembangan sel kanker lebih lanjut.

Teknologi Ultrawideband (UWB) merupakan teknologi yang menggunakan sistem pencitraan gelombang mikro. Teknologi UWB diprakarsai oleh The Federal Communications Comission (FCC) pada tahun 2002. FCC mendefinisikan UWB sebagai sinyal dengan bandwidth lebih dari 500 MHz pada rentang frekuensi 3,1 hingga 10,6 GHz. Kemunculan UWB menjadi standart IEEE 802.15.3a yang bertujuan menyediakan spesifikasi teknologi dengan biaya rendah, konsumsi daya rendah, serta kemampuan transmisi yang tinggi (Aiello, 2003).

UWB adalah teknologi baru yang memiliki potensi aplikasi dibidang kedokteran diagnostik. Teknologi pencitraan gelombang mikro UWB adalah salah satu teknologi yang paling menjanjikan di bidang diagnosis medis, karena tidak memiliki sifat pengion (Non-Ionizing) dan biaya yang murah (Alsharif, 2018). Teknologi UWB memiliki panjang gelombang vang lebih (dibandingkan Mammografi sinar x) untuk mendapatkan informasi letak tumor, serta tingkat akurasi dan keamanan yang lebih baik (Kahwaji, 2016).

Salah satu elemen yang paling penting dalam sistem pencitraan gelombang mikro adalah antena. Antena berfungsi dalam mengirim dan menerima sinyal ke objek yang tersebar disekitarnya. Salah satu bahan dasar dalam pembuatan antena adalah substrat. Substrat merupakan suatu elemen yang berfungsi sebagai bahan dielektrik dari antena mikrostrip yang membatasi elemen peradiasi dengan elemen ground. Elemen ini memiliki jenis bervariasi yang dapat digolongkan berdasarkan nilai konstanta dielektrik (er), dan ketebalannya (h). Belakangan ini, meningkatnya perhatian dari akademisi dan industri untuk meneliti mengenai keunggulan dari elektronik fleksibel, dimana dianggap mampu memenuhi kebutuhan dalam perakitan serta karena sangat berguna karena efisien, handal, ringan, bentuknya

dapat mengikuti permukaan (wearable). Sekarang, teknologi ini ditanam pada beberapa bahan lainnya tekstil, stiker, jeans, polyethylene terephthalate (PET) dan kapton polyimide (Ridha, 2014). Dimana fleksibel elektronik yang sudah mulai digunakan sebagai substrat untuk sebuah desain antena (Ridha, 2014). Diantara beberapa substrat fleksibel yang digunakan untuk antena mikrostrip, salah satu jenis substat yang paling umum digunakan yaitu polyethylene terephthalate (PET), dimana substrat PET sudah digunakan dibeberapa penelitian sebelumnya seperti pada penelitian yang dilakukan oleh (Paracha, 2018) dan (Matyas, 2017).

Pada penelitian ini, dilakukan perancangan dan simulasi fleksibel antena dengan substrat polyethylene terephthalate (PET) pada frekuensi 5.8 GHz yang digunakan untuk pendeteksian tumor pada payudara, dimana dengan menggunakan substrat yang fleksibel, hal ini dapat memberikan keuntungan yaitu antena dapat mengikuti struktur dari payudara dan dapat ditempatkan di payudara untuk memudahkan pendeteksian tumor pada payudara.

### II. LANDASAN TEORI

## 2.1. Antena Mikrostrip *Patch* Persegi Panjang

Antena mikrostrip merupakan jenis antena yang memiliki bentuk board yang terdiri dari 3 lapisan, yaitu patch sebagai elemen peradiasi gelombang elektromagmetik, substrat yang merupakan bahan dielektrik dan ground. Bentuk dari mikrostrip bermacam-macam disesuaikan dengan pengguanan antena, bentuk patch persegi yang merupakan model jamak digunakan dikarenakan proses perancangannya yang mudah dibandingkan dengan model patch lainnya. Berikut persamaan yang digunakan menentukan dimensi antena mikrostrip patch persegi panjang. Menentukan lebar patch (w) (Sidauruk, 2015):

$$W = \frac{c}{2f_r \sqrt{\frac{(\varepsilon_r + 1)}{2}}}$$

Keterangan

 $c = \text{Kecepatan cahaya } (3x10^8 \text{ m/s})$ 

 $f_r$ = Frekuensi kerja antena

 $E_r$ = Konstanta dielektrik substrat

Sedangkan untuk menentukan panjang (patch) (L) diperlukan parameter ΔL yang

merupakan pertambahan panjang dari L. Pertambahan panjang dari L ( $\Delta$ L) tersebut dirumuskan dengan (Sidauruk, 2015):

$$\Delta L = 0.412h \frac{(\varepsilon_{reff} + 0.3) \left(\frac{W}{h} + 0.264\right)}{(\varepsilon_{reff} - 0.258) \left(\frac{W}{h} + 0.8\right)}$$

Dimana h merupakan tinggi substrat, maka konstanta dielektrik efektif ( $\mathcal{E}_{reff}$ ) yang dirumuskan sebagai (Sidauruk, 2015):

$$\varepsilon_{reff} = \frac{\varepsilon_r + 1}{2} + \frac{\varepsilon_r - 1}{2} \left( \frac{1}{\sqrt{1 + 12\left(\frac{h}{W}\right)}} \right)$$

Dengan demikian panjang *patch* (L) diberikan oleh (Gusma, 2014):

$$L = L_{eff} - 2\Delta L$$

Dimana  $L_{eff}$  merupakan panjang patch efektif yang dapat dirumuskan dengan :

$$L_{eff} = \frac{c}{2f_0 \sqrt{\epsilon_{reff}}}$$

## 2.2. Teknik Pencatuan Mikrostrip

Teknik pencatuan pada sebuah antena mikrostrip adalah teknik vang digunakan mentransmisikan energi elektromagnetik ke antena mikrostrip. Teknik pencatuan yang digunakan pada antena mikrostrip merupakan salah satu hal penting yang akan berpengaruh dalam sebuah perancangan antena mikrostrip. Terdapat beberapa teknik mikrostrip, pencatuan antena vaitu Electromagnetically Coupled (EMC), Microstrip Line, Coaxial Probe dan Coplanar Waveguide. Setiap teknik pencatuan memiliki kelebihan dan kelemahan masing-masing (Istiqamah, 2012). Pada penelitian ini akan menggunakan teknik pencatuan Coplanar Waveguide karena teknik ini yang paling sesuai untuk diaplikasikan pada fleksibel antena, karena teknik pencatuan Coplanar Waveguide memungkinkan setiap bagian dari antena berada pada satu sisi subsrat yang sama.

## 2.3 Antena Ultrawideband

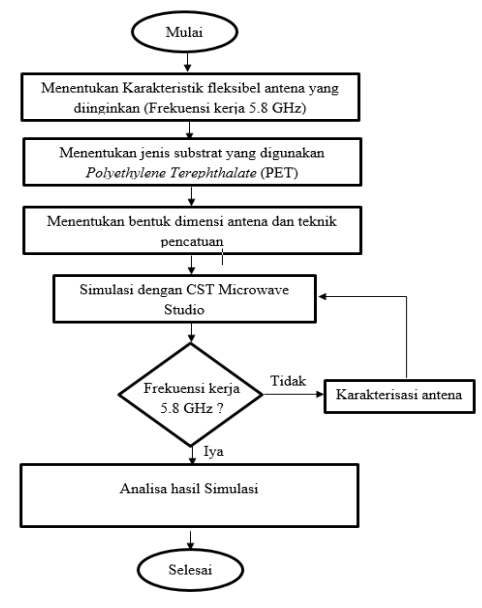
Ultrawideband adalah aplikasi yang menggunakan spektrum frekuensi yang sangat lebar dengan tujuan mendapatkan kecepatan transfer data (datarate) yang tinggi. Sinyal yang memiliki sifat ultrawideband juga digunakan untuk pemposisian (positioning) yang sangat akurat. Karena band frekuensi yang digunakan oleh aplikasi UWB ini sedianya telah terpakai untuk aplikasi-aplikasi lainnya ditahun 2002. Badan regulasi

telekomunikasi Amerika (Federal Communication Commision/FCC) mengeluarkan rekomendasi penggunaan frekuensi 3.1 GHz sampai 10.6 GHz untuk aplikasi UWB, terutama yang terkait dengan pancaran maksimal yang diizinkan. FCC mengklasifikasikan antena *ultrawideband* memiliki lebar pita lebih besar dari 500 MHz (Sumanta, 2014).

### III. METODOLOGI PENELITIAN

### 3.1. Diaram Alir Penelitian

Diagram alir penelitian berisi tahapan-tahapan yang bertujuan untuk membantu dalam menyelesaikan penelitian. Tahapan dimulai dengan membuat diagram alir perancangan fleksibel Perancangan dimulai dengan menentukan frekuensi kerja yang ingin dicapai serta jenis subsrat yang digunakan yaitu substrat Polyethylene Terephthalate. Kemudian menentukan bentuk dimensi antena dan teknik pencatuan yang digunakan, Setelah itu dilakukan simulasi dan karakterisasi hingga memperoleh hasil parameter yang baik sesuai yang diinginkan.



Gambar 1. Diagram Alir Penelitian

## 3.2. Menentukan Karakteristik Antena

Adapun tahapan awal dari perancangan antena adalah menentukan karakteristik antena yang diharapkan, yaitu frekuensi kerja antena, impedance bandwidth, return loss, VSWR, dan gain. Adapun parameter antena yang diinginkan seperti terlihat pada Tabel 1.

Tabel 1 Parameter Antena yang Diinginkan

Parameter	Karakterisasi Antena
Frekuensi Kerja	5.8 GHz
Return Loss	< -10 dB
Bandwidth	> 500 MHz
VSWR	$\leq 2$
Gain	≤ 10 dBi

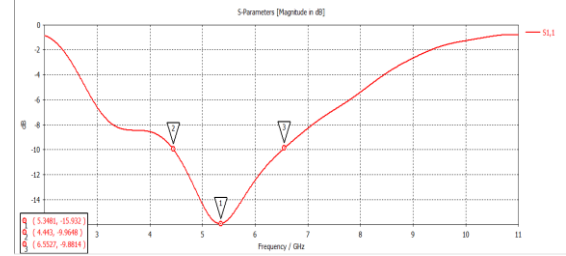
Pemilihan Frekuensi kerja 5.8 GHz didasarkan karena frekuensi kerja 5.8 GHz termasuk ke dalam *Industrial, Scientific, and Medical (ISM) Band* (Dhengale, 2015) dan dengan bandwidth >500 MHz membuat antena juga termasuk ke dalam antena *ultrawideband*.

## IV. HASIL DAN PEMBAHASAN

Setelah dilakukan perhitungan dan perancangan fleksibel antena dengan ukuran sesuai perhitungan, tahap selanjutnya yaitu dilakukannya karakterisasi dan simulasi hasil rancang akhir fleksibel antena untuk pendeteksian tumor pada payudara.

# 4.1 Perancangan Antena Mikrostrip Elemen Tunggal

Perancangan fleksibel antena mikrostrip dengan model *patch* persegi panjang serta ground plane yang berada pada sisi kiri dan kanan saluran pencatu. Teknik pencatuan yang digunakan yaitu dengan pencatuan *coplanar waveguide*, penggunaan pencatuan ini untuk memudahkan dalam proses perancangan antena mikrostrip. Hasil simulasi fleksibel antena dengan ukuran sesuai dengan perancangan ditunjukkan pada gambar 2.



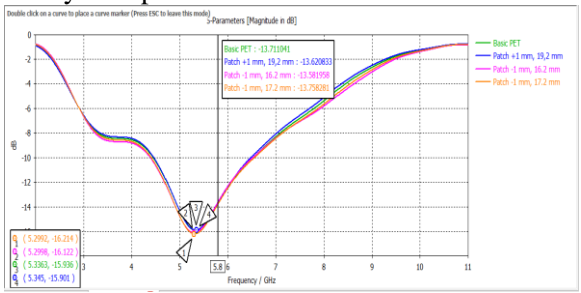
**Gambar 2.** *Return Loss* fleksibel antena sesuai dimensi perhitungan

Dari gambar 2 menunjukkan bahwa hasil simulasi telah menunjukkan nilai *return loss* yang baik yaitu -15.93 dB pada frekuensi 5.34 GH, Namun frekuensi yang diinginkan masih belum terpenuhi, karena antena yang dirancang adalah antena yang bekerja pada frekuensi 5.8 GHz. Oleh karena itu, perlu dilakukan proses pengkarakterisasian antena, baik pada dimensi saluran pencatu, dimensi *patch* maupun dimensi

untuk mendapatkan rancangan ground optimal.

#### a. Hasil Karakterisasi Lebar Patch

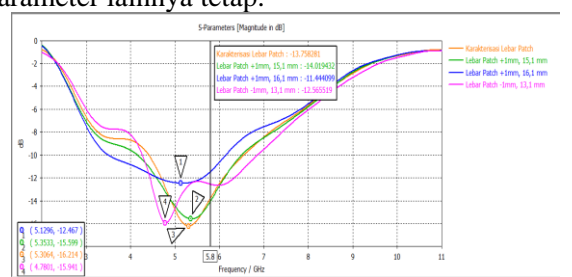
Karakterisasi lebar patch bertujuan untuk mendapatkan frekuensi kerja antena yang diinginkan dan nilai return loss yang lebih baik. Gambar 3 memperlihatkan karakterisasi dari rancangan antena elemen tunggal dengan mengubah hanya lebar patch, variasi lebar patch yang dibuat adalah mulai dari 16.2 mm hingga 19.2 mm dengan kenaikan 1 mm sedangkan parameter lainnya tetap.



Gambar 3. Return Loss Karakterisasi Lebar Patch Gambar 3 Menunjukkan bahwa frekuensi kerja dan nilai return loss terbaik diperoleh pada lebar patch 17.2 mm dan memiliki frekuensi tengah di 5.3 GHz dengan return loss dengan nilai sebesar -16.20 dB. Namun, dari hasil ini dapat disimpulkan bahwa karakterisasi lebar patch mempengaruhi nilai return loss dari antena. Oleh karena itu, akan dilakukan karakterisasi pada dimensi panjang patch untuk mendapatkan parameter yang diinginkan dari antena tersebut.

## b. Hasil Karakterisasi Panjang Patch

Karakterisasi panjang patch bertujuan untuk mendapatkan grafik yang memiliki nilai return loss rendah. Gambar 4 memperlihatkan karakterisasi dari rancangan antena elemen tunggal dengan mengubah hanya lebar patch sedangkan parameter lainnya tetap.

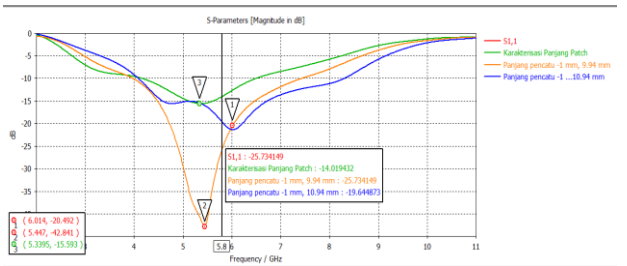


Gambar 4. Return Loss Karakterisasi Panjang Patch

Gambar 4 menunjukkan perubahan panjang patch berperngaruh pada nilai return loss dan frekuensi kerja dari antena, hasil simulasi juga menunjukkan penambahan dan pengurangan dimensi panjang patch membuat nilai return loss dan frekuensi kerja antena mengarah ke nilai yang lebih buruk, sehingga hasil karakterisasi patch antena tetap dengan dimensi 14.1 mm dengan nilai return loss -16.21 pada frekuensi 5.3 GHz.

## c. Hasil Karakterisasi Panjang Pencatu

Gambar memperlihatkan sebuah pengkarakterisasian dari rancangan antena dengan mengubah hanya panjang pencatu, sedangkan parameter lainnya tetap. Variasi panjang patch vang dibuat adalah mulai 11.94 mm hingga 9.94 mm dengan perubahan -1 mm. Dari Gambar 4 tersebut dapat diamati bahwa dengan mengubah panjang pencatu, maka terdapat perubahan signifikan pada frekuensi kerja antena dan nilai return loss dari antena

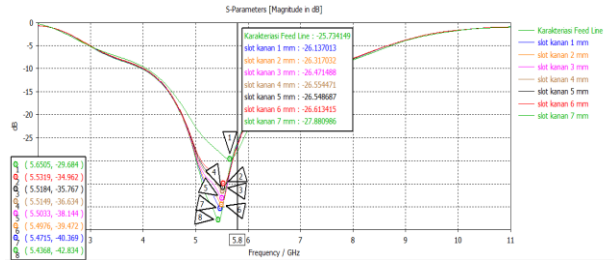


Gambar 5. Return Loss Karakterisasi Panjang Pencatu

Berdasarkan data hasil simulasi, diketahui bahwa nilai return loss terbaik diperoleh pada panjang Pencatu 9.94 mm dan memiliki frekuensi tengah di 5.44 GHz dengan return loss sebesar -42.841 dB. Dengan demikian, karakterisasi pada simulasi kali ini sudah mendapatkan nilai return loss yang baik mendekati frekuensi yang diinginkan. Sehingga karakterisasi selanjutnya adalah untuk mendapatkan antena dengan frekuensi kerja 5.8 GHz.

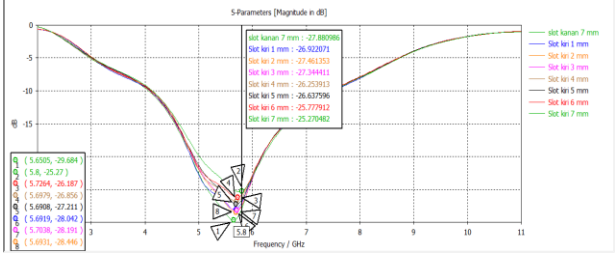
## d. Hasil Karakterisasi Patch Penambahan Slot

Karakterisasi Penambahan Slot pada patch bertujuan untuk mendapatkan frekuensi kerja diinginkan yang yaitu 5.8 Penambahan slot pada patch antena akan dilakukan pada 2 bagian patch yaitu pada bagian kanan atas dan kiri atas patch. Gambar memperlihatkan karakterisasi dari rancangan antena elemen tunggal dengan menambah slot pada Patch bagian kanan atas sedangkan parameter lainnya tetap.



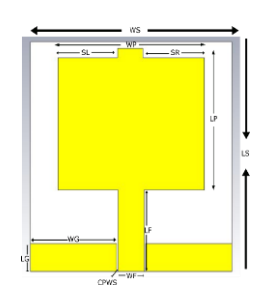
**Gambar 6.** *Return Loss* Karakterisasi *Patch* Penambahan *Slot* bagian kanan

Gambar 6 menunjukkan bahwa frekuensi kerja yang mendekati 5.8 GHz adalah pada penambahan *slot* bagian kanan atas dengan panjang 7 mm, yang memiliki frekuensi kerja 5.65 GHz dengan *return loss* sebesar -29.684 dB. Hasil tersebut telah mendekati frekuensi kerja yang diinginkan, untuk mendapatkan frekuensi kerja yang tepat pada 5.8 GHz maka dilakukan penambahan *slot* pada bagian kiri atas *patch* antena yang ditunjukkan pada gambar 7 berikut



**Gambar 7.** *Return Loss* Karakterisasi *Patch* Penambahan *Slot* bagian Kiri Atas

Gambar 7 menunjukkan pada penambahan slot *patch* 7 mm bagian kiri atas didapatkan antena dengan frekuensi kerja 5.8 GHz dengan nilai Return Loss -25.27 dB. Dengan demikian, dari hasil simulasi ini dapat disimpulkan bahwa karakterisasi *patch* penambahan *slot* mempengaruhi frekuensi kerja dan besar nilai *return loss* antena dan telah mendapatkan antena dengan frekuensi kerja 5.8 GHz. Hasil akhir dari desain fleksibel antena dengan substrat PET ditunjukkan pada gambar 8



Gambar 8. Desain fleksibel antena mikrostrip

Tabel 2. Dimensi Rancangan Akhir Fleksibel
Antena

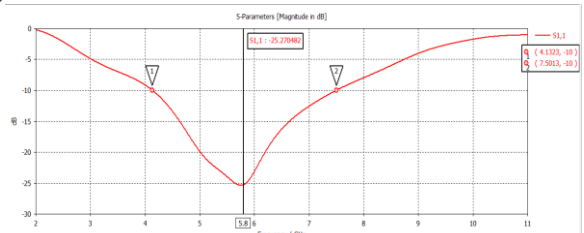
7 intend	
Parameter	Dimensi (mm)
Lebar Substrat (WS)	23,65
Panjang substrat (LS)	25
Lebar Patch (WP)	17,2
Panjang Patch (LP)	14,1
Lebar Pencatu (WF)	3,03
Panjang Pencatu (LF)	9,94
Lebar Ground (WG)	10,11
Panjang Ground (LG)	3
Slot CPW (CPWS)	0,2
Slot Kiri (SL)	7
Slot kanan (SR)	7

## 4.2 Hasil simulasi Antena Elemen Tunggal

Desain fleksibel antena mikrostrip disimulasikan menggunakan software CST Microwave Studio. Setelah antena disimulasikan dan melewati karakterisasi serta optimalisasi akan menghasilkan beberapa nilai parameter, seperti return loss, VSWR, bandwidth, dan gain seperti berikut.

### 4.2.1 Return Loss

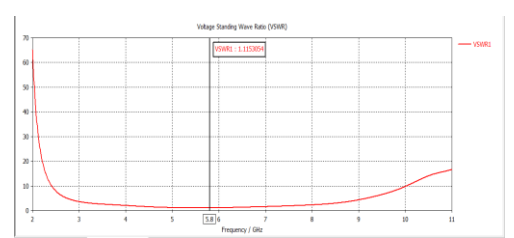
Nilai return loss yang didapatkan setelah simulasi dan karakterisasi adalah return loss - 25.27 dB pada frekuensi 5.8 GHz. Berdasarkan hasil simulasi, antena mikrostrip menghasilkan parameter return loss sesuai dengan yang diinginkan yaitu < -10 dB. Gambar 9 merupakan grafik return loss setelah simulasi dilakukan



**Gambar 9.** Grafik *return loss* fleksibel antena elemen tungal

## 4.2.2 Voltage Standing Wave Ratio (VSWR)

Nilai VSWR yang didapatkan setelah simulasi dan karakterisasi adalah nilai VSWR yang diperoleh pada frekuensi 5.8 GHz adalah sebesar 1.115. Berdasarkan teori bahwa pada perancangan antena dapat bekerja apabila nilai VSWR ≤ 2. Gambar 10 merupakan grafik VSWR setelah dilakukan simulasi.



**Gambar 10.** Grafik VSWR fleksibel antena elemen tungal

#### 4.2.3 Bandwidth

Adapun *bandwidth* yang dicapai pada nilai VSWR ≤ 2 frekuensi 5.8 GHz adalah :

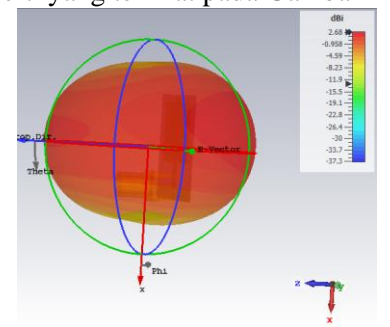
$$Bandwidth = 7.5 - 4.13 = 3.37 \text{ GHz}$$

Impedansi Bandwidth = 
$$\frac{7.5 - 4.13}{5.8}$$
 x 100 %  
Bandwidth = 58.1 % (3.37 GHz)

Perhitungan nilai *bandwidth* yang dihasilkan pada perancangan elemen tunggal fleksibel antena mikrostrip adalah sebesar 3.37 GHz atau nilai impedansi *bandwidth* sebesar 58.1%. Hal ini telah memenuhi standar *bandwidth* dari antena *Ultra Wideband* dengan minimal memiliki *bandwidth* selebar ≥ 500 MHz (Sumanta, 2014).

## 4.2.4 Gain

Nilai gain yang didapatkan dari hasil simulasi perancangan antena mikrostrip elemen tunggal adalah sebesar 2.68 dBi pada frekuensi 5.8 GHz, seperti yang terlihat pada Gambar 11.



Gambar 11. Gain fleksibel antena

## V. KESIMPULAN DAN SARAN

## 5.1. Kesimpulan

Beberapa kesimpulan yang diperoleh dari hasil perancangan dan simulasi fleksibel antena, diantaranya sebagai berikut :

1. Penelitian ini menunjukkan untuk mendapatkan antena dengan frekuensi yang

- diinginkan maka perlu dilakukan karakterisasi. dengan mengubah vaitu ukuran dari antena mikrostrip hingga mendetekati mendapatkan hasil yang frekuensi kerja yang diinginkan
- 2. Pada penelitian ini menunjukkan hasil yang optimal sesuai dengan parameter Fleksibel antena yang ditargetkan yaitu dihasilkan return loss dan VSWR yang baik yaitu-25.27 dB dan 1.115 pada frekuensi 5.8 GHz. Dengan bandwidth sebesar 3.37 GHz impedansi bandwidth 58.1% dan 2.68 dBi Gain
- 3. Dengan menggunakan substrat vang fleksibel, hal dapat memberikan ini keuntungan yaitu antena dapat mengikuti dari payudara dan struktur dapat ditempatkan di payudara untuk memudahkan pendeteksian tumor pada payudara.

## 5.2 Saran

Adapun saran untuk penelitian berikutnya adalah:

- 1. Melakukan fabrikasi fleksibel antena dengan subsrat PET dan melakukan pengukuran dengan *Vector Network Analyzer (VNA)*.
- 2. Melakukan Pengujian fleksibel antena yang telah difabrikasi terhapad pemodelan payudara dengan tumor.

## DAFTAR PUSTAKA

- Aiello, G. R., & Rogerson, G. D. (2003). Ultrawideband wireless systems. *IEEE microwave magazine*, 4(2), 36-47.
- Alsharif, F., & Kurnaz, C. (2018, July). Wearable Microstrip Patch Ultra Wide Band Antenna for Breast Cancer Detection. In 2018 41st International Conference on Telecommunications and Signal Processing (TSP) (pp. 1-5). IEEE.
- Dhengale, B. B., & Karia, D. C. (2015, January). A 5.8 GHz ISM band Microstrip antenna for RFID applications. In 2015 International Conference on Nascent Technologies in the Engineering Field (ICNTE) (pp. 1-4). IEEE.
- Faisal, M. M. A., Uddin, M. J., Ullah, M. W., Kamrul, M. I., Haque, K. M., & Rahman, E. (2017, November). Comparative analysis of

- different types of breast cancer cell detection antennas. In *Inventive Computing and Informatics (ICICI)*, *International Conference on (pp. 927-930)*. IEEE.
- Gusma, R. A. 2014. Simulasi Antena Mikrostrip Patch Persegi Panjang *Plannar Array* 6 Elemen dengan Pencatuan *Aperture Coupled* untuk Aplikasi CP E WiMax Pada Frekuensi 3,3-3,4 GHz. Skripsi. Fakultas Teknik, Universitas Riau: Pekanbaru
- Istiqamah, NA. (2012). Desain Dan Implementasi Patch Antenna Dengan Pencatuan L-Shaped Probe Untuk Aplikasi Wlan. Bandung (ID): Politeknik Bandung
- Kahwaji, A., Arshad, H., Sahran, S., Garba, A. G., & Hussain, R. I. (2016, March). Hexagonal microstrip antenna simulation for breast cancer detection. In *Industrial Informatics and Computer Systems (CIICS)*, 2016 International Conference on (pp. 1-4). IEEE.
- Matyas, J., Slobodian, P., Munster, L., Olejník, R., & Urbánek, P. (2017). Microstrip antenna from silver nanoparticles printed on a flexible polymer substrate. *Materials Today: Proceedings*, 4(4), 5030-5038.
- Paracha, K. N., Rahim, S. K. A., Chattha, H. T., Aljaafreh, S. S., & Lo, Y. C. (2018). Low-cost printed flexible antenna by using an office printer for conformal applications. *International Journal of Antennas and Propagation*, 2018.
- Ridha, R., Zulkifli, F.Y., Basari., Rahardjo, E.K., (2014). *Desain Antena Dengan Bahan Polymide Untuk Penerima Pada Aplikasi Gps.* Depok (ID): Universitas Indonesia
- Sidauruk H. F. Rambe A. H. 2014. Analisa Penentuan Ukuran Slot Pada Karateristik Antena Mikrostrip Patch Segiempat Dengan Pencatu Aperture Coupled. Konsentrasi Teknik Telekomunikasi, Teknik Elektro, Fakultas Departemen Teknik, Universitas Sumatera Utara, Vol. 10 No. 27: Medan
- Sumanta, S. (2014). Analisa Bentuk Patch Pada Antena Microstrip Untuk Teknologi Ultra Wideband Rentang Frekuensi 3.1-10.6 Ghz. Bandung (ID): Universitas Telkom